



REVISTA ESPAÑOLA DE PODOLOGÍA

Publicación Oficial del Consejo General de Colegios Oficiales de Podólogos

Artículo Aceptado para su pre-publicación / Article Accepted for pre-publication

Título / Title:

Variación baropodométrica con la pérdida de peso: un estudio experimental /
Baropodometric variation with weight loss: an experimental study

Autores / Authors:

Carla Lanuza-Cerzóximo, Javier Alfaro-Santafé, Alejandro Jesús Almenar-Arasanz, José V Alfaro-Santafé, Aitor Pérez-Morcillo, Antonio Gómez-Bernal

DOI: [10.20986/revesppod.2022.1627/2021](https://doi.org/10.20986/revesppod.2022.1627/2021)

Instrucciones de citación para el artículo / Citation instructions for the article:

Lanuza-Cerzóximo Carla, Alfaro-Santafé Javier, Almenar-Arasanz Alejandro Jesús, Alfaro-Santafé José V, Pérez-Morcillo Aitor, Gómez-Bernal Antonio. Variación baropodométrica con la pérdida de peso: un estudio experimental / Baropodometric variation with weight loss: an experimental study. Rev. Esp. Pod. 2022. doi: 10.20986/revesppod.2022.1627/2021.



Este es un archivo PDF de un manuscrito inédito que ha sido aceptado para su publicación en la Revista Española de Podología. Como un servicio a nuestros clientes estamos proporcionando esta primera versión del manuscrito en estado de pre-publicación. El manuscrito será sometido a la corrección de estilo final, composición y revisión de la prueba resultante antes de que se publique en su forma final. Tenga en cuenta que durante el proceso de producción se pueden dar errores lo que podría afectar el contenido final.

REVISTA ESPAÑOLA DE PODOLOGÍA



Publicación Oficial del Consejo General de Colegios Oficiales de Podólogos

ORIGINAL

Artículo bilingüe español/inglés

Rev Esp Podol. 2022;xx(x):x-x

DOI: 10.20986/revesppod.2022.1627/2021

Variación baropodométrica con la pérdida de peso: un estudio experimental

Baropodometric variation with weight loss: an experimental study

Carla Lanuza-Cerzóximo^{1,2}, Javier Alfaro-Santafé^{1,2}, Alejandro Jesús Almenar-Arasanz², José V. Alfaro-Santafé^{1,2}, Aitor Pérez-Morcillo² y Antonio Gómez-Bernal^{1,2}

¹Universidad Central de Cataluña. Manresa, Barcelona, España. ²Departamento de Investigación. Podoactiva. Huesca, España

Palabras clave:

Estática, dinámica, desequilibrio postural, presión, obesidad, presiones plantares, podobarometría

Resumen

Objetivos: Uno de los principales problemas de salud pública del siglo XXI es la obesidad. La baropodometría se utiliza habitualmente para determinar las cargas específicas sobre la superficie plantar del pie y el comportamiento del centro de presión corporal (CoP). El objetivo de la presente investigación fue evaluar la redistribución de los parámetros baropodométricos: presiones plantares estáticas y dinámicas y CoP anteroposterior, al disminuir el peso corporal.

Pacientes y métodos: Una muestra de 43 sujetos (24 hombres y 19 mujeres) participaron en el estudio. Se diseñó una dieta hipocalórica con el objetivo de reducir su peso corporal. El examen baropodométrico se realizó en dos ocasiones: peso 1 - Sesión 1 y peso 2 - Sesión 2, cuando habían perdido entre 12 y 18 kg. El pie se dividió en 9 zonas: talón, mediopié, 5 cabezas metatarsales (MTH), hallux, 2-5 dedos. Se utilizó la plataforma de presión Footwork® para realizar la evaluación.

Resultados: Los sujetos reducen un 11.59 % su peso medio. La disminución de la presión del pie fue estadísticamente significativa entre la primera y la segunda medición ($p < 0.05$). Para la estática en el Hallux, 2.º MTH, 3.º MTH, 5.º MTH y talón, mientras que para la dinámica la presión disminuye en todas las zonas de estudio excepto en el 2.º y 5.º dedo. Para el CoP se observó un notable desplazamiento posterior. No hubo diferencias de género.

Conclusiones: Podemos concluir que la pérdida de peso afectó positivamente tanto a las presiones plantares como al CoP, ya que se observaron cambios estadísticamente significativos en los parámetros baropodométricos entre los dos momentos estudiados.

Keywords:

Static, dynamic, postural imbalance, pressure, obesity, plantar pressures, baropodometry

Abstract

Objective: One of the major public health problems of the 21st century is obesity. Baropodometry is commonly used to determine specific loads on the plantar surface of the foot and the behaviour of the body center of pressure (CoP). The aim of the present investigation was to evaluate the redistribution of the baropodometric parameters: static and dynamic plantar pressures and anteroposterior CoP, as body weight decreased.

Patients and methods: A sample of 43 subjects (24 male, 19 female) participated in the study. A hypocaloric diet was designed with the aim to reduce their body weight. The baropodometric exam was performed in two occasions: weight 1 – Session 1 and weight 2 – Session 2, when they had lost between 12 and 18 kg. The foot was divided in 9 areas: heel, midfoot, 5 metatarsal heads (MTHs), Hallux, 2-5 toes. The Footwork® pressure platform was used to carry out the evaluation.

Results: Subjects reduce an 11.59 % their mean weight. Foot pressure decrease was statistically significant between the first and second measurements ($p < 0.05$). For the static on the Hallux, 2nd MTH, 3rd MTH, 5th MTH and heel, while for the dynamic the pressure decreases on the whole study areas except on the 2nd and 5th toes. For the CoP, a notable posterior displacement was observed. There were no gender differences.

Conclusions: We can conclude that weight loss affected positively to both plantar pressures and CoP, since statistically significant changes were observed in the baropodometric parameters between the two times studied.

Recibido: 22-12-2021

Aceptado: 08-02-2022



0210-1238 © Los autores. 2022.
Editorial: INSPIRA NETWORK GROUP S.L.
Este es un artículo Open Access bajo la licencia CC Reconocimiento 4.0 Internacional
(www.creativecommons.org/licenses/by/4.0/).

Correspondencia:

Antonio Gómez-Bernal
antonio.gomez@podoactiva.com

Introducción

La obesidad es uno de los principales problemas de salud pública del siglo XXI y su prevalencia se ha triplicado en muchos países europeos en las últimas décadas¹. Es un problema fuertemente asociado con una menor calidad de vida, así como con el desarrollo de graves patologías crónicas metabólicas, cardíacas y circulatorias y trastornos musculoesqueléticos^{2,3}. Los datos cuantitativos han demostrado que el peso corporal excesivo afecta negativamente a la bipedestación y a la marcha^{4,5}. La medición de la presión plantar se utiliza habitualmente para determinar las cargas específicas en la superficie plantar del pie. Hay muchos estudios de casos que evalúan las presiones del pie normal e intentan establecer patrones de presiones patológicas⁶. El centro de presiones (CoP) representa el promedio de todo el peso que está en contacto con la superficie del suelo y se expresa como el punto donde se encuentra el vector de las fuerzas de reacción del suelo^{6,7}.

En la literatura se puede encontrar cómo el peso corporal influye en los datos de la presión plantar y en la posición del CoP⁸⁻¹⁰. El exceso de peso corporal ha demostrado tener consecuencias estructurales negativas en los pies y miembros inferiores, aumenta las posibilidades de padecer fascitis plantar o artrosis de rodilla entre otras¹¹⁻¹⁴. La obesidad también se relaciona con un desplazamiento anterior del CoP¹⁵, ya que la inestabilidad en personas obesas, asociada al aumento de peso, parece ser determinante con el CoP en posición anterior¹⁶.

La baropodometría computarizada (medición de la presión plantar) es útil para el diagnóstico de las enfermedades del pie, la evaluación de la función del pie y el seguimiento del tratamiento. Se ha practicado para determinar parámetros específicos del peso en adultos obesos, entre otros^{10,14}. Sin embargo, no existen en la literatura estudios específicos que hayan analizado mediante baropodometría computarizada cómo mejoran las presiones plantares y el CoP al disminuir el peso corporal en adultos obesos.

Por ello, con este estudio pretendemos evaluar la mejora de las presiones plantares y del CoP antero-posterior al disminuir el peso corporal en la toma de datos de baropodometría estática y dinámica en adultos obesos.

Pacientes y métodos

Diseño del estudio

Entre junio de 2009 y diciembre de 2009, realizamos un estudio experimental controlado, el cual fue diseñado para investigar si una disminución del peso corporal en personas obesas conlleva una variación en las presiones plantares y del CoP antero-posterior, a través de una intervención controlada en un periodo de tiempo concreto cuyo objetivo es conseguir esa disminución del peso corporal total de cada individuo. Los participantes escogidos para el protocolo, en concreto, en 43 adultos con obesidad diagnosticada, debían presentarse en dos ocasiones a la clínica. La primera de ellas (Sesión 1) los participantes fueron evaluados por el médico endocrino y por el podólogo antes de la intervención, y en la segunda ocasión (Sesión 2) los participantes fueron de nuevo evaluados tras la intervención de pérdida de peso por el mismo equipo. El diseño de la presente investigación se basó y ejecutó según la guía de reporte CONSORT.

Participantes

Los participantes fueron reclutados en una clínica privada de Endocrinología y Nutrición de Huesca, España. Fueron reclutados 52 sujetos, de los cuales 5 fueron excluidos por no cumplir los criterios de inclusión. Al inicio de la investigación se partió de 47 participantes, de los cuales 4 no pudieron ser contactados de nuevo. Finalmente, el estudio se realizó sobre una muestra de 43 pacientes (Figura 1), 24 eran hombres y 19 mujeres, de edad media 48 ± 12.6 años (rango, 19-64 años), aparentemente sin enfermedad patológica de la marcha ni deformidades estructurales o funcionales graves en los pies. Los criterios de inclusión incluían sujetos con sobrepeso de entre 18 y 65 años, con indicación de pérdida de peso médica, sin patología de las extremidades inferiores o de la columna vertebral que pudiera afectar a la marcha normal, ni deformidades estructurales o funcionales en los pies. Se excluyeron los candidatos que no cumplían los criterios de inclusión, o que informaban de dolor en los pies en los 6 meses anteriores, o que tenían alguna cirugía previa en los pies.

Protocolo experimental y plan de evaluación

Los participantes fueron evaluados rigurosamente por el mismo médico endocrino y podólogo en la línea de base (Sesión 1) y al final del estudio tras la intervención de pérdida de peso (Sesión 2), cuando cada participante había perdido entre el 11-12 % de su peso corporal. Por lo tanto, se obtuvieron 2 pesos relacionados con las dos sesiones: Sesión 1 - Peso 1; Sesión 2 - Peso 2.

Para conseguir la pérdida de peso propuesta, se aplicó una modificación del estilo de vida¹⁷: una dieta específica muy baja en calorías (< 800 kcal/día), y 2 sesiones diarias de 15 minutos de ejercicio físico anaeróbico en función de la capacidad de los participantes, fueron diseñadas por un endocrino experimentado^{18,19}.

En la Sesión 1 y en la Sesión 2, antes y después de la intervención de pérdida de peso, los participantes fueron sometidos a un examen baropodométrico (estático y dinámico). Este permitió cartografiar cuantitativamente las presiones en cada segmento de la superficie plantar^{20,21}. Para la estática, se pidió a los participantes que se pusieran de pie en el centro de la plataforma durante 5 segundos, con los brazos a ambos lados del cuerpo en posición natural y mirando al frente²². Para minimizar las fluctuaciones corporales del individuo en la estática (como la oscilación y el desequilibrio del peso corporal), aplicamos este procedimiento 3 veces por sesión²². Para la dinámica, se pidió a los participantes que caminaran descalzos sobre la plataforma a su ritmo normal siguiendo el protocolo de los 3 pasos, que requiere aterrizar en la plataforma en el tercer paso de la marcha²³. Para minimizar las fluctuaciones corporales del individuo en la dinámica (como la oscilación del peso corporal, el desequilibrio y los cambios en la velocidad de la marcha) aplicamos este procedimiento 3 veces por sesión²². Ambos pies se subdividieron en 9 zonas: el talón, el mediopié, las 5 cabezas metatarsales (MTH), el Hallux y los 2-5 dedos (Figura 2). La selección de las zonas del presente estudio se justifica porque se basa en la clínica diaria, donde las consultas de los pacientes con sobrepeso suelen ser por molestias o dolor en los MTH, por lo que estos se estudian por separado y está apoyado por autores, como Hills y cols.¹¹, que realizaron un estudio completo de las diferencias de presiones entre sujetos obesos y no obesos.

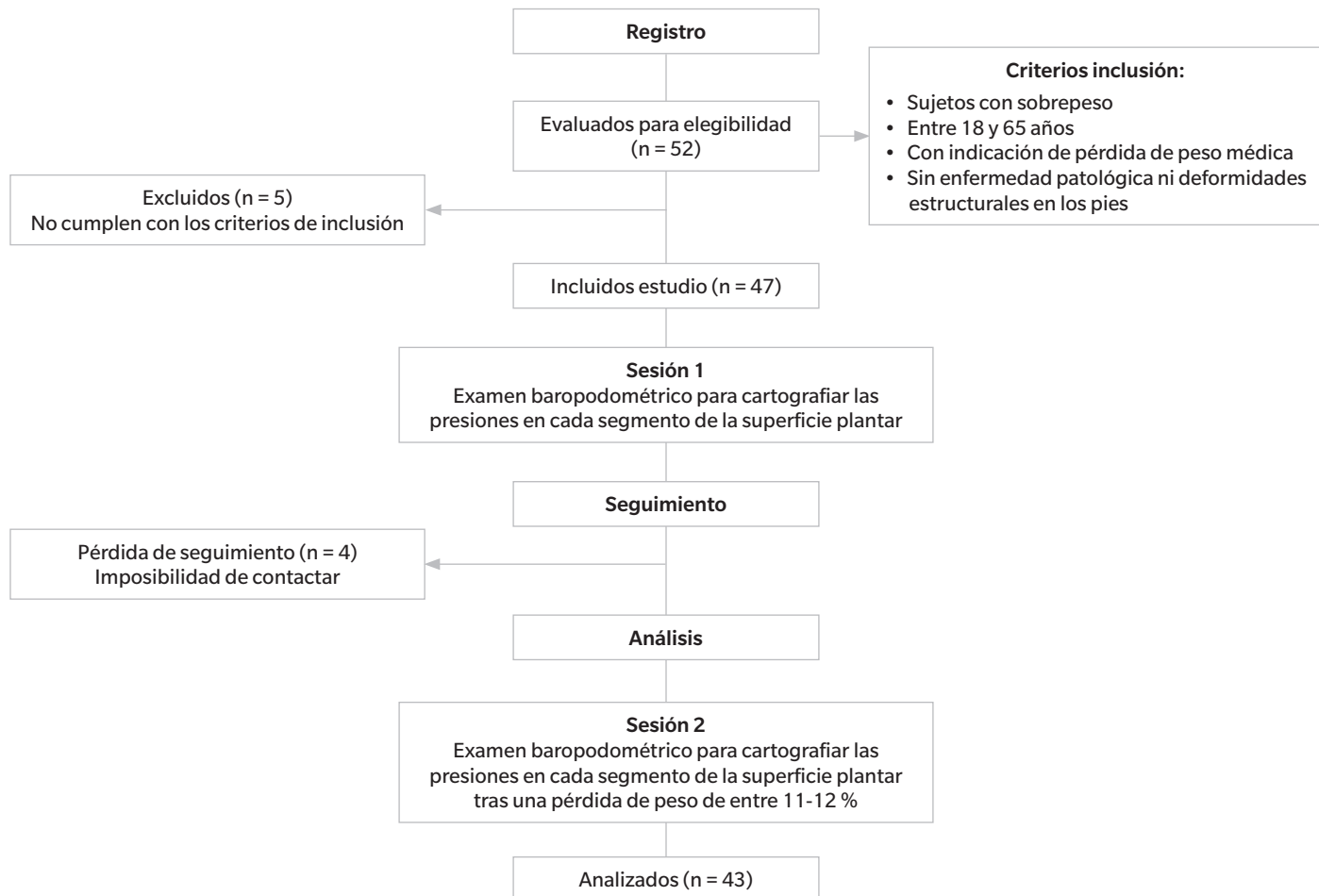


Figura 1. Diagrama CONSORT del flujo de participantes.

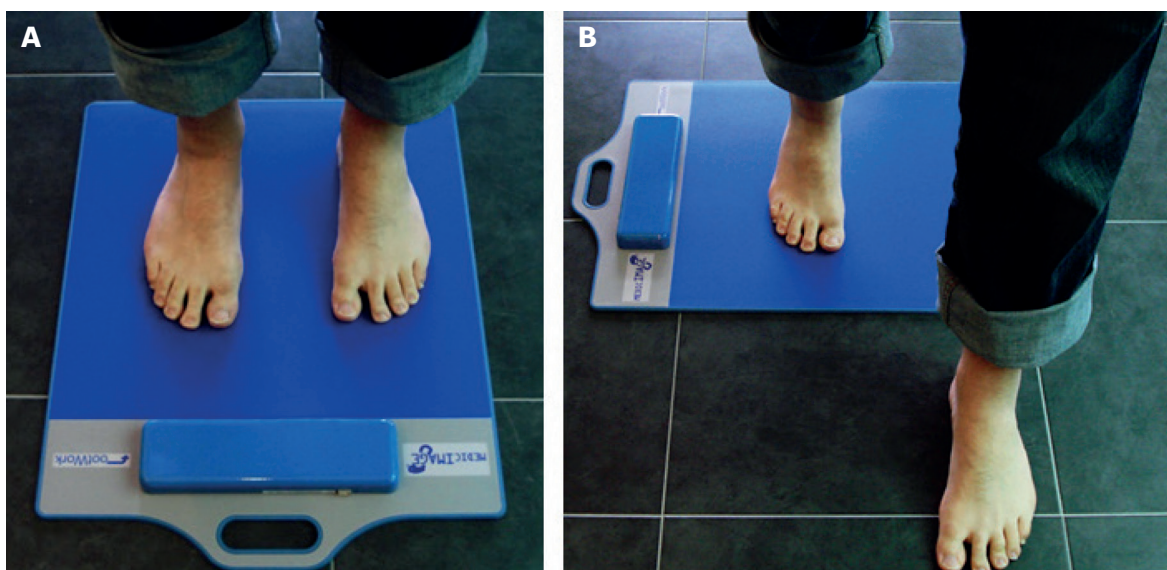


Figura 2. A: medición estática. B: medición dinámica, en la plataforma Footwork.

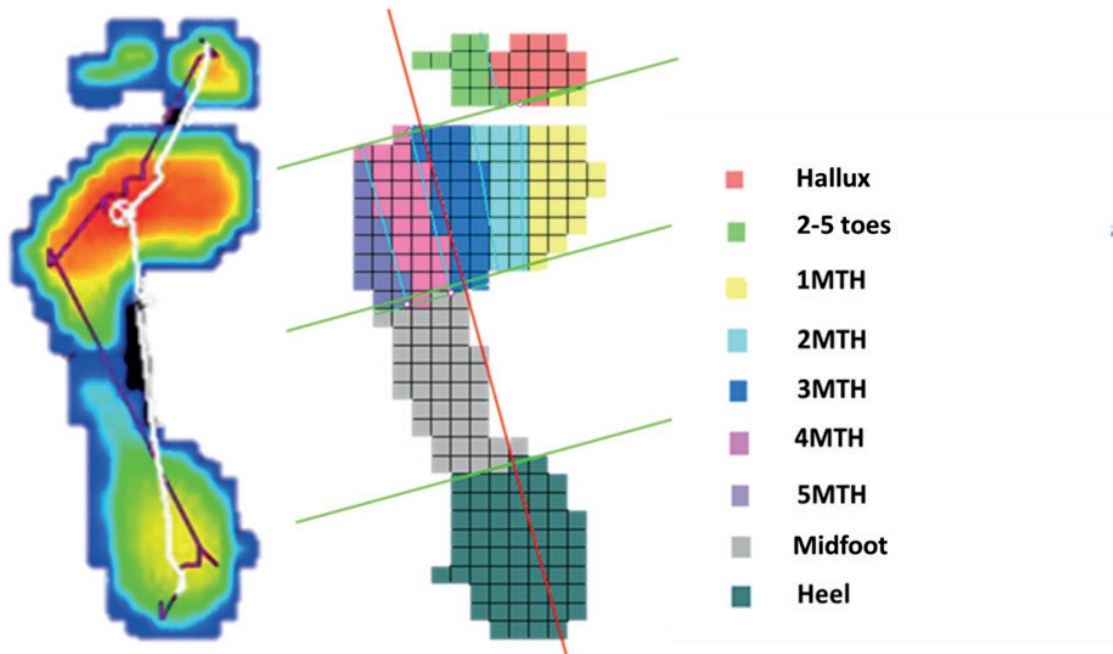


Figura 3. Huella de baropodometría dinámica (izquierda), 9 zonas de pies de estudio (derecha).

Las presiones máximas de estas zonas en kg/cm^2 y la posición del CoP se obtuvieron utilizando el software Footwork^{®20}. Los datos de las presiones máximas se expusieron gráficamente y se relacionaron con los dos pesos de cada paciente.

Equipo

Se utilizó la plataforma Footwork[®] (AM3-IST[®], Francia), para el análisis baropodométrico^{22,24} (Figura 3).

El peso y la altura de los participantes se midieron durante cada sesión con una báscula Año-Sayol y un estadiómetro, respectivamente (Año-Sayol SL, Barcelona, España).

Análisis estadístico y variables de estudio

Se realizó un análisis exploratorio inicial de todas las variables clínicas. Las variables continuas se expresaron como media \pm desviación estándar (DE), mientras que las cualitativas se expresaron como frecuencias y porcentajes. Se comprobó la normalidad de los datos continuos mediante la prueba de Kolmogorov-Smirnov. Se aplicó la prueba de Chi cuadrado para mostrar la relación entre las variables cualitativas. Para comparar los pesos medios entre dos grupos independientes según la normalidad, se utilizó la prueba t-Student. Las diferencias entre la Sesión 1 y la Sesión 2 se realizaron mediante métodos de comparación de medias, Wilcoxon cuando la variable no seguía una distribución normal, y t-Student para muestras relacionadas cuando había normalidad. Para cuantificar la diferencia entre el peso y las presiones plantares y el CoP en la Sesión 1 y la Sesión 2 se calculó el “porcentaje de cambio”, que se definió como la variación relativa en puntos porcentuales entre ambas sesiones: porcentaje de

cambio de peso (WC %) = [(peso en la Sesión 2 - peso en la Sesión 1) / peso Sesión 1] \times 100; porcentaje de cambio de presión plantar (PPC %) = [(presión en la Sesión 2 - presión en la Sesión 1) / presión en la Sesión 1] \times 100; porcentaje de cambio de CoP = [(tiempo CoP X+1 - tiempo CoP X) / tiempo CoP X] \times 100. El “porcentaje de cambio” se analizó mediante el coeficiente de correlación de Spearman, de acuerdo con la normalidad.

La variable “mejorar” se estableció con el fin de analizar la posible relación entre la pérdida de peso y las 9 zonas de presión del pie consideradas en la sesión 1 y en la sesión 2, tanto para la baropodometría estática como para la dinámica. El nivel de significación estadística se estableció en $p < 0.05$, el nivel de confianza establecido en las comparaciones fue del 95 %. Los análisis estadísticos se realizaron con el software SPSS 22.0 para Windows (SPSS[®] IBM Inc, versión 22.0, Armonk, NY, EE. UU.).

Resultados

Todos los participantes procedían de la consulta de Endocrinología y Nutrición y tenían sobrepeso: peso medio para los hombres de 87 kg (rango, 72-104) y de 68 kg (rango, 62-75) para las mujeres, con un índice de masa corporal (IMC) superior a 25. La comparación media de los dos pesos estudiados se muestra en la Tabla I. La pérdida de peso entre ambas épocas fue estadísticamente significativa ($p < 0.05$). También se observan las diferencias de peso entre géneros que no tuvieron significación estadística.

Para las presiones plantares, en estática (Tabla II) se observó una disminución de la presión media estadísticamente significativa entre la primera y la segunda medición en el hallux, 2.^º MTH, 3.^º MTH, 5.^º MTH y talón.

Tabla I. Comparación de medias de variables continuas y grupo estadístico.

Comparación de medidas (n = 43)					Grupo estadístico (n = 43)			
Media de IC 95 %			*p valor			Hombres (n = 24)	Mujeres (n = 19)	
		LL	UL			87.304 (16.7965)	68.305 (4.7354)	
Peso 1 - 2	9.0837	1.9689	8.4778	9.6897	0.001	Peso 1 (kg) – Media (DE)		
						*p valor = 0.000		
				Peso 2 (kg) – Media (DE)		77.229 (15.7495)	60.474 (4.6207)	
						*p valor = 0.000		

*Prueba de t Student para muestras relacionadas.

DE: desviación estándar. IC: intervalo de confianza. LL: límite inferior. UP: límite superior.

Tabla II. Estadística de todas las variables analizadas para la medición en estático.

Variable	Media	IC inferior	IC superior	Mediana	Mínimo	Máximo	valor p
S-Hx (1)	0.066	0.043	0.089	0.000	0.00	0.61	0.517*
S-Hx (2)	0.047	0.026	0.069	0.000	0.00	0.65	0.050*
S-1MTH (1)	0.524	0.484	0.565	0.480	0.21	1.15	0.045*
S-1MTH (2)	0.509	0.462	0.557	0.465	0.19	1.36	0.635*
S-2MTH (1)	0.688	0.644	0.732	0.660	0.29	1.24	0.057**
S-2MTH (2)	0.611	0.552	0.669	0.570	0.26	2.23	0.001**
S-3MTH (1)	0.696	0.649	0.742	0.680	0.27	1.38	0.017**
S-3MTH (2)	0.637	0.577	0.697	0.590	0.27	2.28	0.017**
S-4MTH (1)	0.559	0.518	0.600	0.525	0.23	1.18	0.020**
S-4MTH (2)	0.536	0.486	0.586	0.495	0.19	1.49	0.342**
S-5MTH (1)	0.363	0.317	0.409	0.325	0.12	1.59	0.107*
S-5MTH (2)	0.336	0.277	0.396	0.295	0.06	1.95	0.003*
S-2-5 (1)	0.017	0.006	0.028	0.000	0.00	0.34	0.464*
S-2-5 (2)	0.142	0.007	0.022	0.000	0.00	0.18	0.780*
S-HEEL (1)	0.887	0.808	0.967	0.830	0.34	2.73	0.081**
S-HEEL (2)	0.784	0.723	0.845	0.770	0.15	1.95	0.001**
S-MID (1)	0.093	0.069	0.117	0.000	0.00	0.45	0.128*
S-MID (2)	0.092	0.061	0.123	0.030	0.00	1.03	0.322*

* Prueba de Wilcoxon. ** Prueba t-Student para muestras relacionadas.

S: estático. 1: peso 1. 2: peso 2. Hx: hallux. MTH: cabeza metatarsal. 2-5: 2-5 dedos. HEEL: talón. MID: mediopié.

En la dinámica (Tabla III) se observó una disminución de la presión estadísticamente significativa entre la primera y la segunda medición en el hallux, 1.^º MTH, 2.^º MTH, 3.^º MTH, 4.^º MTH, 5.^º MTH, talón y mediopié. En resumen, todas las zonas de estudio excepto en los dedos 2.^º a 5.^º.

La Tabla IV muestra el análisis descriptivo, así como el número de pacientes (n) considerados en cada caso. La relación entre el cambio de peso y el cambio de presión se estudió mediante el coeficiente de correlación de Spearman.

En estática, se observa que la variación de peso es estadísticamente significativa en el hallux, 1.^º MTH, 2.^º MTH, 3.^º MTH y 4.^º MTH.

En dinámica, entre la Sesión 1 y la Sesión 2, solo encontramos una asociación significativa entre los cambios de presión y la variación de peso en los dedos 2.^º a 5.^º y en el mediopié.

Discusión

Los cambios de postura a largo plazo, como los producidos por el aumento de peso, pueden inducir cambios degenerativos permanentes en el sistema musculoesquelético²⁵. Por lo tanto, la pérdida de peso influirá positivamente en la postura corporal, lo que se puede observar estudiando la presión plantar y el movimiento del CoP²⁶.

En la presente investigación no se han observado cambios significativos entre la variación del CoP y el género, como evidencian Rogind y cols.²⁷ y Nordahl y cols.²⁸. Sin embargo, hemos observado que el CoP retrocede cuando se pierde peso. Estos resultados coinciden con los obtenidos por DeVita y cols.²⁹, que demostraron que el CoP se desplaza hacia delante cuando aumenta el peso. Gilleard y Smith, en 2007¹⁶, enfatizaron esto y añadieron la hipótesis de la falta

Tabla III. Estadísticas de todas las variables analizadas para la medición dinámica.

Variable	Media	IC inferior	IC superior	Mediana	Mínimo	Máximo	valor p
D-Hx(1)	0.832	0.654	1.009	0.500	0.00	4.04	0.364*
D-Hx(2)	0.660	0.527	0.793	0.515	0.03	3.39	0.043*
D-1MTH (1)	1.419	1.292	1.547	1.300	0.52	3.39	0.001*
D-1MTH (2)	1.130	1.023	1.238	1.085	0.45	2.78	0.000*
D-2MTH (1)	2.202	2.047	2.356	2.060	0.95	4.01	0.001**
D-2MTH (2)	1.830	1.666	1.995	1.710	0.67	4.15	0.000**
D-3MTH (1)	2.269	2.100	2.437	2.115	0.94	4.06	0.003**
D-3MTH (2)	1.870	1.687	2.053	1.580	0.63	4.74	0.000**
D-4MTH (1)	1.585	1.445	1.726	1.415	0.61	3.90	0.004*
D-4MTH (2)	1.313	1.168	1.457	1.140	0.42	3.56	0.000*
D-5MTH (1)	0.889	0.737	1.040	0.735	0.18	4.67	0.052*
D-5MTH (2)	0.723	0.610	0.837	0.600	0.14	3.35	0.011*
D-2-5(1)	0.142	0.115	0.168	0.130	0.00	0.56	0.477*
D-2-5(2)	0.127	0.103	0.150	0.105	0.00	0.58	0.315*
D-HEEL(1)	1.506	1.326	1.687	1.350	0.52	5.57	0.001*
D-HEEL(2)	1.156	1.032	1.280	1.025	0.35	3.39	0.000*
D-MID(1)	0.180	0.118	0.241	0.140	0.00	2.28	0.314*
D-MID(2)	0.149	0.061	0.237	0.000	0.00	3.59	0.003*

* Prueba de Wilcoxon. ** Prueba t-Student para muestras relacionadas.

D: dinámico. 1: peso 1. 2: peso 2. Hx: hallux. MTH: cabeza metatarsal. 2-5: 2-5 dedos. HEEL: talón. MID: mediopié.

Tabla IV. Cambio registrado entre sesiones en el porcentaje de peso por zona en estático y dinámico.

	Variable	Media	IC inferior	IC superior	Mediana	Mínimo	Máximo	n	Coef.*	valor p
Estática	S-Hx(1-2)	22.328	-45.578	90.233	-55.476	-100.00	1050.00	42	0.328	0.034**
	S-1MTH (1-2)	-17.230	-22.403	-12.057	-20.170	-63.38	46.43	86	0.367	0.001**
	S-2MTH (1-2)	-10.293	-16.493	-4.093	-10.790	-53.23	171.95	86	0.309	0.004***
	S-3MTH (1-2)	-7.036	-13.647	-0.424	-9.245	-51.72	204.00	86	0.327	0.002***
	S-4MTH (1-2)	0.205	-9.400	9.811	-7.709	-72.45	245.16	86	0.281	0.009**
	S-5MTH (1-2)	0.749	-13.969	15.467	-10.644	-74.21	457.14	86	0.034	0.757**
	S-2-5(1-2)	-4.958	-93.826	83.909	-96.296	-100.00	450.00	18	0.458	0.056**
	S-HEEL(1-2)	-7.146	-13.356	-0.935	-11.585	-60.53	102.70	86	-0.073	0.504**
	S-MID(1-2)	-13.226	-35.637	9.186	-21.111	-100.00	312.00	42	-0.028	0.862**
Dinámica	D-Hx(1-2)	35.180	-0.186	70.546	-9.434	-94.71	823.08	85	-0.050	0.647**
	D-1MTH (1-2)	-14.623	-22.387	-6.860	-21.156	-74.38	114.96	86	0.022	0.838**
	D-2 MTH (1-2)	-14.718	-20.971	-8.465	-15.614	-65.09	141.28	86	0.059	0.590***
	D-3MTH (1-2)	-15.236	-21.818	-8.654	-17.618	-67.24	134.97	86	0.117	0.283***
	D-4MTH (1-2)	-13.331	-21.080	-5.583	-19.740	-67.14	129.68	86	0.067	0.538**
	D-5MTH (1-2)	-1.667	-15.119	11.786	-19.917	-89.12	242.11	86	0.055	0.617**
	D-2-5(1-2)	14.192	-15.730	44.113	-12.500	-100.00	650.00	72	0.235	0.047**
	D-HEEL(1-2)	-14.515	-23.350	-5.680	-25.119	-77.02	128.17	86	0.051	0.640**
	D-MID(1-2)	-39.858	-54.502	-25.213	-36.232	-100.00	112.50	52	0.297	0.032**

*Rho de Spearman. ** Prueba de Wilcoxon. *** Prueba t-Student para muestras relacionadas.

S: estático. D: dinámico. 1-2: peso 1-2. Hx: hallux. MTH: cabeza metatarsal. 2-5: 2-5 dedos. HEEL: talón. MID: mediopié.

de estabilidad en los obesos como determinante del desplazamiento anterior.

La obesidad se ha asociado a un mayor desplazamiento hacia delante del centro de presiones¹⁵. La ganancia de masa corporal en los obesos genera un aumento de la inestabilidad que conduce a una mayor respuesta muscular para mantener el CoP en el centro del polígono de apoyo. La localización de la masa grasa en el cuerpo (tórax-abdomen en los hombres; caderas en las mujeres) contribuye a la inestabilidad anteroposterior³⁰.

En la literatura encontramos opiniones opuestas sobre la influencia del peso en los valores de presión plantar. Varios estudios coinciden en que existe una correlación directa entre ambos factores¹¹⁻¹³, es decir, el peso influye en las presiones plantares, lo que tiene consecuencias estructurales en los pies y las extremidades inferiores¹¹.

Nuestros resultados mostraron que cuando el peso disminuía se encontraban diferencias estadísticamente significativas en los MTH en estático y en el mediopié en dinámico³¹. Estos hallazgos son apoyados por Birtane y cols.³², quienes demostraron que el aumento de peso no incrementa las presiones máximas de la marcha del antepié, aunque se encontró que la zona anatómica más sensible fue el 1.^{er} MTH, donde se observó que el aumento de peso incrementa las presiones máximas¹³.

En el estudio de Arnold y cols.³³, se observó la correlación entre mayores presiones plantares cuando aumenta el peso. Se estudiaron tres momentos: cuando los sujetos aumentan 5, 10 y 15 kg, encontrándose la relación para los dos últimos pesos en el hallux, cada MTH y el talón.

Riddiford-Harland y cols.³⁴ justifican que la zona media es la más sensible al cambio de presión debido al aumento de las fuerzas de impacto que limitan la capacidad del arco longitudinal medial para atenuar este cambio y, por lo tanto, la adaptación se produce por el aumento del apoyo de la parte media del pie³⁴. Arnold y cols.³³ manifiestan que en su estudio esta zona no aparece como estadísticamente significativa porque el aumento de peso solo llegó hasta los 15 kg. Nuestro estudio no apoya esta hipótesis, ya que la pérdida de peso osciló entre 5,5 y 13,2 kg y esta fue la única zona estadísticamente significativa junto con los dedos del pie. En el caso de Hills y cols. se observó que el aumento más notable de la presión máxima entre los no obesos y los obesos se produjo en la región media del pie. Su estudio coincide con nuestros datos, pero con grandes diferencias en la media de la masa corporal entre los sujetos obesos y no obesos, 36,0 kg para las mujeres y 43,6 kg para los hombres¹¹. Arnold fundamenta en este estudio que a mayor varianza de peso entre ambos grupos (obesos y no obesos) más significativa es la diferencia sobre la zona media³³. Los resultados del presente estudio se pueden relacionar con los de Song y cols.³⁵ y Mueller y cols.¹³, que defienden que al aumentar el peso el arco plantar desciende (más en pie pronado) aumentando la carga sobre la superficie media de la planta del pie, coincidiendo con nuestro estudio.

Hay que destacar una limitación de la presente investigación, el movimiento lateral del CoP como no considerado. De todos modos, los resultados de este trabajo revelan la importante relación entre el peso y el sistema musculoesquelético.

Podemos concluir que la pérdida de peso afecta positivamente al CoP estática y a las presiones plantares, tanto estáticas como dinámicas, ya que se observan cambios estadísticamente significativos en el CoP antero-posterior y en las presiones plantares entre los dos

tiempos estudiados. El CoP se desplaza hacia atrás, lo que significa equilibrio y ganancia postural saludable. Cabe destacar que la reducción de peso afecta de forma diferente a las presiones plantares estáticas y dinámicas. Podemos observar que no hay ninguna zona anatómica de las 9 estudiadas que coincida entre los estudios estáticos y dinámicos como estadísticamente significativa.

Declaración ética

El estudio fue aprobado por el Comité Ético de Investigación Clínica de Aragón (CEICA) con el número C.P.-C.I. PI17/0203 y registrado en ClinicalTrials.gov (NCT04809441). Los participantes firmaron voluntariamente un consentimiento informado. El estudio se ha realizado de acuerdo con los Principios de Helsinki.

Disponibilidad de datos y materiales

Los conjuntos de datos utilizados y/o analizados durante el presente estudio están disponibles a través del autor correspondiente previa solicitud razonable.

Conflictos de intereses

Los autores declaran que no tienen intereses contrapuestos.

Financiación

No aplicable.

Contribuciones de los autores

CL-C tuvo la idea original de la presente investigación, diseñó el protocolo, evaluó a los pacientes y diseñó el tratamiento. AG-B evaluó a los pacientes al inicio y después del seguimiento. JA-S realizó el análisis estadístico de los datos. JVA-S realizó la aleatorización, AP-M revisó y redactó el manuscrito, AJA-A revisó y redactó el manuscrito.

Bibliografía

- Monastir L, Batty GD, Cattaneo A, Lutje V, Ronfani L, Van Lenthe FJ, et al. Early-life determinants of overweight and obesity: a review of systematic reviews. *Obes Rev*. 2010;11(10):695-708. DOI: 10.1111/j.1467-789X.2010.00735.x.
- Buckley J. Exercise self-efficacy intervention in overweight and obese women. *J Health Psychol*. 2016;21(6):1074-84. DOI: 10.1177/1359105314545096.
- Benítez-Andrade JA, Arias N, García-Ordás MT, Martínez-Martínez M, García-Rodríguez I. Feasibility of Social-Network-Based eHealth Intervention on the Improvement of Healthy Habits among Children. *Sensors (Basel)*. 2020;20(5). pii: E1404. DOI: 10.3390/s20051404.
- de Souza SA, Faintuch J, Valezi AC, Sant' Anna AF, Gama-Rodrigues JJ, de Batista Fonseca IC, et al. Gait cinematic analysis in morbidly obese patients. *Obes Surg*. 2005;15(9):1238-42. DOI: 10.1381/096089205774512627.
- Vismara L, Romei M, Galli M, Montesano A, Baccalaro G, Crivellini M, et al. Clinical implications of gait analysis in the rehabilitation of adult patients with "Prader-Willi" Syndrome: a cross-sectional comparative study ("Prader-Willi"Syndrome vs matched obese patients and healthy subjects). *J Neuromod Rehabil*. 2007;4:14. DOI: 10.1186/1743-0003-4-14.
- Lee W, Hong SH, Oh HW. Characterization of Elastic Polymer-Based Smart Insoleand a Simple Foot Plantar Pressure Visualization Method Using 16 Electrodes. *Sensors (Basel)*. 2018;19(1). pii: E44. DOI: 10.3390/s19010044.
- Gómez Bernal A, Becerro-de-Bengoa-Vallejo R, Losa-Iglesias ME. Reliability of the OptoGait portable photoelectric cell system for the quantification of spatial-temporal parameters of gait in young adults. *Gait Posture*. 2016;50:196-200. DOI: 10.1016/j.gaitpost.2016.08.035.
- Ferrín B, Diego C, Magdalena X, Correa HL. Determinación semiautomática de parámetros morfológicos de la huella plantar mediante el procesamiento digital de imágenes. *Sistemas & Telemática*. 2013;11(27):9-26.
- Puig-Dívì A, Prats-Puig A. Postural and dynamic analysis of the human body: The relevance of the functional modulator factors in the methodological design. *Mult J Educ Soc & Tec Sci*. 2015;2(2):95-120. DOI: 10.4995/muse.2015.3754.

10. Wafai L, Zayegh A, Woulfe J, Aziz SM, Begg R. Identification of Foot Pathologies Based on Plantar Pressure Asymmetry. *Sensors (Basel)*. 2015;15(8):20392-408. DOI: 10.3390/s150820392.
11. Hills AP, Hennig EM, McDonald M, Bar-Or O. Plantar pressure differences between obese and non-obese adults: a biomechanical analysis. *Int J Obes Relat Metab Disord*. 2001;25(11):1674-9. DOI: 10.1038/sj.ijo.0801785.
12. Menz HB, Morris ME. Clinical determinants of plantar forces and pressures during walking in older people. *Gait Posture*. 2006;24(2):229-36. DOI: 10.1016/j.gaitpost.2005.09.002.
13. Mueller MJ, Hastings M, Commean PK, Smith KE, Pilgram TK, Robertson D, Johnson J. Forefoot structural predictors of plantar pressures during walking in people with diabetes and peripheral neuropathy. *J Biomech*. 2003;36(7):1009-17. DOI: 10.1016/S0021-9290(03)00078-2.
14. Taborri J, Palermo E, Rossi S, Cappa P. Gait Partitioning Methods: A Systematic Review. *Sensors (Basel)*. 2016;16(1). pii: E66. DOI: 10.3390/s16010066.
15. Berrigan F, Simoneau M, Tremblay A, Hue O, Teasdale N. Influence of obesity on accurate and rapid arm movement performed from a standing posture. *Int J Obes (Lond)*. 2006;30(12):1750-7. DOI: 10.1038/sj.ijo.0803342.
16. Gilleard W, Smith T. Effect of obesity on posture and hip joint moments during a standing task, and trunk forward flexion motion. *Int J Obes (Lond)*. 2007;31(2):267-71. DOI: 10.1038/sj.ijo.0803430.
17. Fujioka K. Benefits of moderate weight loss in patients with type 2 diabetes. *Diabetes Obes Metab*. 2010;12(3):186-94. DOI: 10.1111/j.1463-1326.2009.01155.x.
18. Siram AT, Yanagisawa R, Skamagas M. Weight management in type 2 diabetes mellitus. *Mt Sinai J Med*. 2010;77(5):533-48. DOI: 10.1002/msj.20208.
19. Anderson JW, Kendall CW, Jenkins DJ. Importance of weight management in type 2 diabetes: review with meta-analysis of clinical studies. *J Am Coll Nutr*. 2003;22:331-9. DOI: 10.1080/07315724.2003.10719316.
20. Fabris SM, Valezi AC, de Souza SA, Faintuch J, Ceconello I, Junior MP. Computerized baropodometry in obese patients. *Obes Surg*. 2006;16(12):1574-8. DOI: 10.1381/096089206779319293.
21. Gravante G, Russo G, Pomara F, Ridola C. Comparison of ground reaction forces between obese and control young adults during quiet standing on a baropodometric platform. *Clin Biomech (Bristol, Avon)*. 2003;18(8):780-2. DOI: 10.1016/S0268-0033(03)00123-2.
22. Becerro de Bengoa Vallejo R, Losa Iglesias ME, Zeni J, Thomas S. Reliability and repeatability of the portable EPS-platform digital pressure-plate system. *J Am Podiatr Med Assoc*. 2013;103(3):197-203. DOI: 10.7547/1030197.
23. Peter EJG, Urukalo A, Fleischli JG, Lavery LA. Reproducibility of Gait Analysis Variables: One-Step versus Three-Step Method of Data Acquisition. *J Foot Ankle Surg*. 2002;41(4):206-12. DOI: 10.1016/S1067-2516(02)80016-3.
24. Giacomozi C. Appropriateness of plantar pressure measurement devices: a comparative technical assessment. *Gait Posture*. 2010;32(1):141-4. DOI: 10.1016/j.gaitpost.2010.03.014.
25. Hue O, Simoneau M, Marcotte J, Berrigan F, Doré J, Marceau P, Marceau S, Tremblay A, Teasdale N. Body weight is a strong predictor of postural stability. *Gait Posture*. 2007;26(1):32-8. DOI: 10.1016/j.gaitpost.2006.07.005.
26. Ruhe A, Fejer R, Walker B. The test-retest reliability of centre of pressure measures in bipedal static task conditions-a systematic review of the literature. *Gait Posture*. 2010;32(4):436-45. DOI: 10.1016/j.gaitpost.2010.09.012.
27. Røgind H, Lykkegaard JJ, Bliddal H, Danneskiold-Samsøe B. Postural sway in normal subjects aged 20-70 years. *Clin Physiol Funct Imaging*. 2003;23(3):171-6. DOI: 10.1046/j.1475-097X.2003.00492.x.
28. Nordahl SH, Aasen T, Dyrkorn BM, Eidsvik S, Molvaer OI. Static stabilometry and repeated testing in a normal population. *Aviat Space Environ Med*. 2000;71(9):889-93.
29. DeVita P, Hortobágyi T. Obesity is not associated with increased knee joint torque and power during level walking. *J Biomech*. 2003;36(9):1355-62. DOI: 10.1016/S0021-9290(03)00119-2.
30. Clark KN. Balance and strength training for obese individuals. *ACSM's Health & Fitness J*. 2004;8(1):14-20. DOI: 10.1097/00135124-200401000-00008.
31. Bolte K, Hennig E, Hills A, McDonald M. Pressure changes under the feet of obese adults after a weight reduction program. *Arch Physiol Biochem*. 2000;108(1-2):70.
32. Birtane M, Tuna H. The evaluation of plantar pressure distribution in obese and non-obese adults. *Clin Biomech*. 2004;19(10):1055-9. DOI: 10.1016/j.clinbiomech.2004.07.008.
33. Arnold JB, Causby R, Dip Pod G, Jones S. The impact of increasing body mass on peak and mean plantar pressure in asymptomatic adult subjects during walking. *Diabetic foot & ankle*. 2010;1(1):5518. DOI: 10.3402/dfa.v1i0.5518.
34. Riddiford-Harland DL, Steele JR, Storlien LH. Does obesity influence foot structure in prepubescent children? *Int J Obes Relat Metab Disord*. 2000;24(5):541-4. DOI: 10.1038/sj.ijo.0801192.
35. Song J, Kane R, Tango DN, Vander Veur SS, Furman J, Komaroff E, et al. Effects of weight loss on foot structure and function in obese adults: a pilot randomized controlled trial. *Gait Posture*. 2015;41(1):86-92. DOI: 10.1016/j.gaitpost.2014.08.013.

REVISTA ESPAÑOLA DE PODOLOGÍA



Publicación Oficial del Consejo General de Colegios Oficiales de Podólogos

ORIGINAL

Bilingual article English/Spanish

Rev Esp Podol. 2022;xx(x):x-x

DOI: 10.20986/revesppod.2022.1627/2021

Baropodometric variation with weight loss: an experimental study

Variación baropodométrica con la pérdida de peso: un estudio experimental

Carla Lanuza-Cerzóximo^{1,2}, Javier Alfaro-Santafé^{1,2}, Alejandro Jesús Almenar-Arasanz², José V. Alfaro-Santafé^{1,2}, Aitor Pérez-Morcillo² y Antonio Gómez-Bernal^{1,2}

¹Central University of Catalonia. Manresa, Barcelona, Spain. ²Research Department of Podoactiva. Huesca, Spain

Keywords:

Static, dynamic, postural imbalance, pressure, obesity, plantar pressures, baropodometry

Abstract

Objective: One of the major public health problems of the 21st century is obesity. Baropodometry is commonly used to determine specific loads on the plantar surface of the foot and the behaviour of the body center of pressure (CoP). The aim of the present investigation was to evaluate the redistribution of the baropodometric parameters: static and dynamic plantar pressures and anteroposterior CoP, as body weight decreased.

Patients and methods: A sample of 43 subjects (24 male, 19 female) participated in the study. A hypocaloric diet was designed with the aim to reduce their body weight. The baropodometric exam was performed in two occasions: weight 1 – Session 1 and weight 2 – Session 2, when they had lost between 12 and 18 kg. The foot was divided in 9 areas: heel, midfoot, 5 metatarsal heads (MTHs), Hallux, 2-5 toes. The Footwork® pressure platform was used to carry out the evaluation.

Results: Subjects reduce an 11.59 % their mean weight. Foot pressure decrease was statistically significant between the first and second measurements ($p < 0.05$). For the static on the Hallux, 2nd MTH, 3rd MTH, 5th MTH and heel, while for the dynamic the pressure decreases on the whole study areas except on the 2nd and 5th toes. For the CoP, a notable posterior displacement was observed. There were no gender differences.

Conclusions: We can conclude that weight loss affected positively to both plantar pressures and CoP, since statistically significant changes were observed in the baropodometric parameters between the two times studied.

Palabras clave:

Estática, dinámica, desequilibrio postural, presión, obesidad, presiones plantares, podobarometría

Resumen

Objetivos: Uno de los principales problemas de salud pública del siglo XXI es la obesidad. La baropodometría se utiliza habitualmente para determinar las cargas específicas sobre la superficie plantar del pie y el comportamiento del centro de presión corporal (CoP). El objetivo de la presente investigación fue evaluar la redistribución de los parámetros baropodométricos: presiones plantares estáticas y dinámicas y CoP anteroposterior, al disminuir el peso corporal.

Pacientes y métodos: Una muestra de 43 sujetos (24 hombres y 19 mujeres) participaron en el estudio. Se diseñó una dieta hipocalórica con el objetivo de reducir su peso corporal. El examen baropodométrico se realizó en dos ocasiones: peso 1 - Sesión 1 y peso 2 - Sesión 2, cuando habían perdido entre 12 y 18 kg. El pie se dividió en 9 zonas: talón, mediopié, 5 cabezas metatarsales (MTH), hallux, 2-5 dedos. Se utilizó la plataforma de presión Footwork® para realizar la evaluación.

Resultados: Los sujetos reducen un 11.59 % su peso medio. La disminución de la presión del pie fue estadísticamente significativa entre la primera y la segunda medición ($p < 0.05$). Para la estática en el Hallux, 2.^º MTH, 3.^º MTH, 5.^º MTH y talón, mientras que para la dinámica la presión disminuye en todas las zonas de estudio excepto en el 2.^º y 5.^º dedo. Para el CoP se observó un notable desplazamiento posterior. No hubo diferencias de género.

Conclusiones: Podemos concluir que la pérdida de peso afectó positivamente tanto a las presiones plantares como a la CoP, ya que se observaron cambios estadísticamente significativos en los parámetros baropodométricos entre los dos momentos estudiados.

Received: 22-12-2021

Accepted: 08-02-2022



0210-1238 © The Authors. 2022.
Editorial: INSPIRA NETWORK GROUP S.L.
This is an Open Access paper under a Creative Commons Attribution 4.0 International License
(www.creativecommons.org/licenses/by/4.0/).

Correspondence:

Antonio Gómez-Bernal
antonio.gomez@podoactiva.com

Introduction

Obesity is in one of the major public health problems of the 21st century and its prevalence has tripled in many European countries in the last decades¹. It is a strong problem associated with a lower quality of life, as well as with the development of serious chronic metabolic, cardiac and circulatory problems and musculoskeletal disorders^{2,3}. Quantitative data showed that excessive body weight negatively effects on standing and walking^{4,5}. Plantar pressure measurement is commonly used to determine specific loads on the plantar surface of the foot. There are many case studies that assess pressures of the normal foot and try to establish patterns of pathological pressures⁶. The center of pressure (CoP) represents the average of all the weight that is in contact with the surface of the floor and is expressed as the point where the vector of the vertical reaction forces of the soil is located^{6,7}.

In the literature it can be found how body weight influences on plantar pressure data and on the position of the CoP⁸⁻¹⁰. Excesses of body weight has shown to have negative structural consequences in the feet and lower limbs, it increases the possibilities of suffering of plantar fasciitis or knee arthrosis among others¹¹⁻¹⁴. Obesity is also related with an anterior displacement of the CoP¹⁵, since the instability in obese people, associated to weight increasing, seems to be determinant with CoP in an anterior position¹⁶.

Computerized baropodometry (plantar pressure measurement) is helpful for foot diseases diagnosis, foot function evaluation and to follow-up the treatment. It has been practiced to determine specific weight parameters in obese adults, among others^{10,14}. Nonetheless, there are not in the literature specific studies that have analyzed by computerized baropodometry how plantar pressures and CoP improve by decreasing body weight in obese adults.

Therefore, with this study we aim to evaluate plantar pressures and antero – posterior CoP improvement by decreasing body weight in static and dynamic baropodometry data collection in obese adults.

Patients and methods

between June 2009 and December 2009, we conducted a controlled experimental study. This was designed to investigate whether a decrease in body weight in obese individuals has a variation in plantar and antero-posterior CoP pressures, through a controlled intervention over a specific period of time aimed at achieving this decrease in total body weight for each individual. The participants chosen for the protocol, specifically, 43 adults with diagnosed obesity, had to present themselves at the clinic on two occasions. On the first occasion (Session 1) participants were assessed by the podiatric physician and the endocrinologist prior to the intervention, and on the second occasion (Session 2) participants were again assessed after the weight loss intervention by the same doctors. The design of the present research was based on and executed according to the CONSORT reporting guideline.

Participants

Participants were recruited at one Endocrinology and Nutrition private clinic in Huesca, Spain. Fifhty-two subjects were recruit-

ed, of whom five were excluded because they did not meet the inclusion criteria. At the start of the study, 47 participants were recruited, of which 4 could not be contacted again. Finally, the study was conducted on a sample of 43 patients (Figure 1), 24 were men and 19 women, mean age 48 ± 12.6 years (range, 19-64 years), apparently without pathological gait disease or severe structural or functional deformities in the feet. Inclusion criteria included overweight subjects between 18 and 65 years old, medical weight loss indicated, no lower limb or spine pathology that might affect normal gait, nor structural or functional deformities in the feet. Candidates who did not comply inclusion criteria or reported pain in their feet within the previous 6 months or had any previous foot surgery were excluded.

Experimental protocol and evaluation plan

Participants were rigorously evaluated by the same endocrine doctor and podiatrist at baseline (Session 1) and at the end of the study after weight loss intervention (Session 2), when each participant had lost between 11-12 % of its corporal weight. Therefore, we obtained 2 weight related with the two sessions: Session 1 – Weight 1; Session 2 – Weight 2.

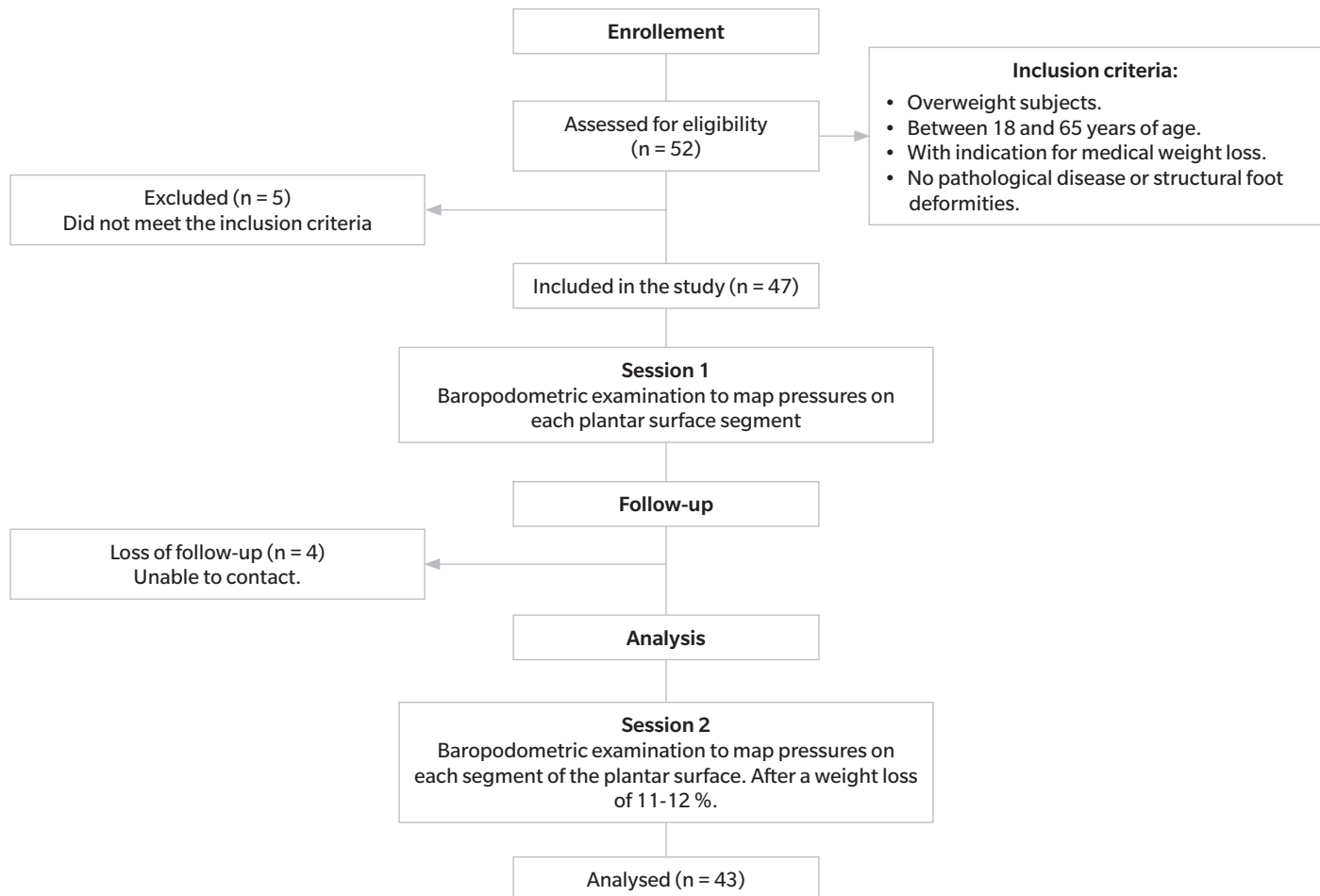
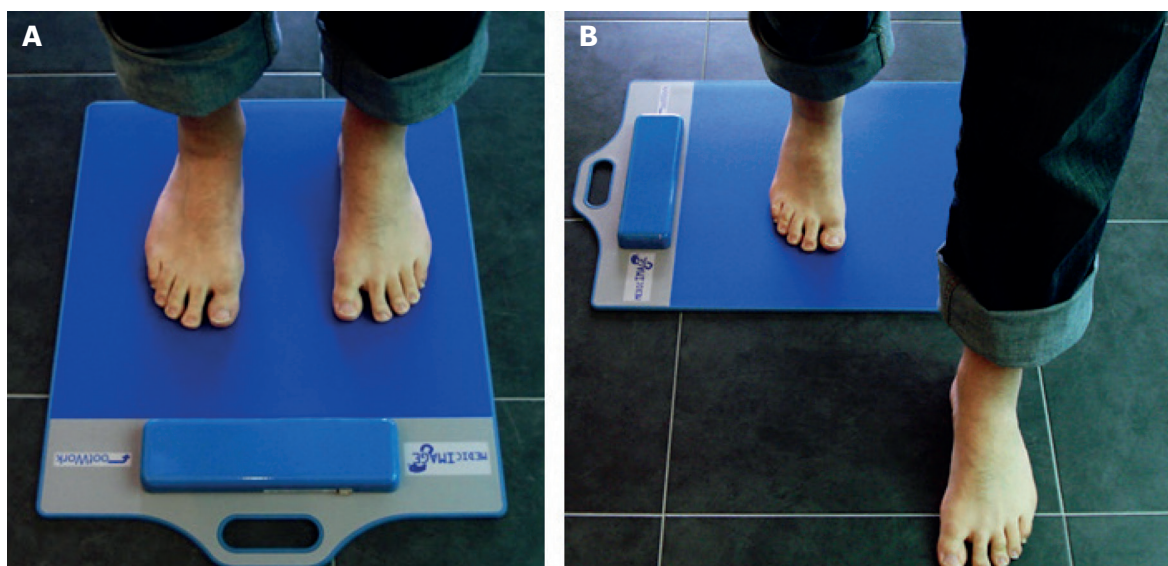
In order to achieve the proposed weight loss, lifestyle modification was applied¹⁷: A specific very low-calorie diet (< 800 kcal/day), and 2 daily sessions of 15 minutes of anaerobic physical exercise depending on the capacity of the participants, were designed by an experienced endocrinology^{18,19}.

At Session 1 and Session 2, before and after weight loss intervention, participants were subjected to a baropometric examination (static and dynamic). It allowed to quantitatively mapping pressures in each segment of the plantar surface^{20,21}. For the static, participants were asked to stand in the center of the platform for 5 seconds, with their arms on either side of the body in a natural position looking straight ahead²². To minimize individual's corporal fluctuations in static (as body weight oscillation and imbalance) we applied this procedure 3 times per session²². For the dynamic, participants were asked to walk barefoot on the platform at their normal pace following the 3-step protocol, which requires landing on the platform on the third step of gait²³. To minimize individual's corporal fluctuations in dynamic (as body weight oscillation, imbalance and changes in gait speed) we applied this procedure 3 times per session²². Both feet were subdivided into 9 areas: heel, midfoot, 5 MTHs, the Hallux, 2-5 toes (Figure 2). Selection of the areas of the present study is justified because it is based on the daily clinic, where the consultations of overweight patients are usually due to discomfort or pain in metatarsal heads (MTH), reason why these are studied separately and is supported by authors like Hills et al.¹¹, who performed a complete study of the differences of pressures between obese and non-obese subjects.

Peak pressures of these areas in kg/cm² and the position of the CoP, were obtained using the Footwork® software²⁰. Peak pressure data were graphically exposed and related with the two weights for each patient.

Equipment

Footwork® platform (AM3-IST®, France), was used for the baropometric analysis^{22,24} (Figure 3). Participant's weight and height

**Figure 1.** CONSORT diagram of the flow of participants.**Figure 2.** A. static measurement. B. dynamic measurement, on Footwork platform.

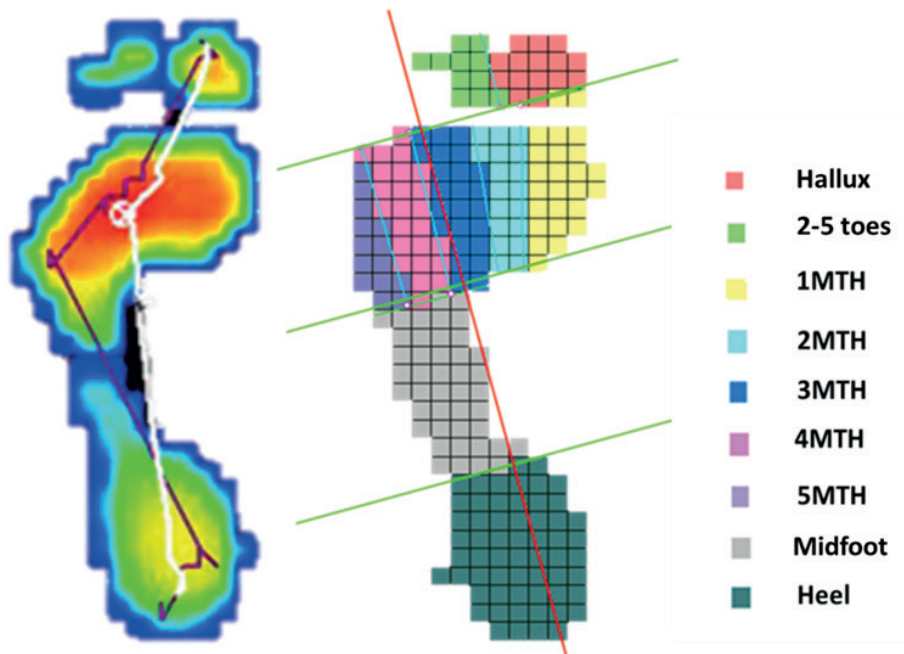


Figure 3. Dynamic baropodometry footprint (left), 9 study foot areas (right).

were measured during each session with an Año-Sayol scale and stadiometer, respectively (Año-Sayol SL, Barcelona, Spain).

Statistical analysis and study variables

An initial exploratory analysis of all clinical variables was carried out. Continuous variables were expressed as mean \pm standard deviation (SD), whereas qualitative variables were expressed as frequencies and percentages. Continuous data were checked for normality by Kolmogorov-Smirnov Test. Chi-Square Test was applied to show the relationship between qualitative variables. To compare mean weights between two independent groups according to normality, we used Student's t test. Differences between Session 1 and Session 2, were performed using mean comparison methods, Wilcoxon when the variable did not follow normal distribution, and t-Student for related samples when there was normality. To quantify the difference between weight and plantar pressures and the CoP at Session 1 and Session 2 the "change percentage" was calculated, which was defined as the relative variation in percentage points between both sessions: Weight-Change % (WC %) = [(Weight at Session 2 – Weight at Session 1) / Weight Session 1] \times 100; Plantar-Pressure-Change % (PPC %) = [(Pressure at Session 2 – Pressure at Session 1) / Pressure at Session 1] \times 100; CoP-Change % = [(time CoP X+1 – time CoP X) / time CoP X] \times 100. The "change percentage" was analyzed through Spearman correlation coefficient, according to normality.

The "improve" variable was established in order to analyze the possible relationship between weight loss and the 9 pressure foot areas considered at Session 1 and Session 2 for both: static and dynamic baropodometry. Statistical significance level was set at $p < 0.05$ and

confidence level at 95 % was also calculated. The statistical analyses were performed using the SPSS software 22.0 for Windows (IBM Corp. Version 22.0. Armonk, NY, USA).

Results

All participants came from Endocrinology and Nutrition consultation and were overweight: mean weight for men 87 (range, 72-104) kg and 68 (range, 62-75) kg for women, with a Body Mass Index (BMI) higher than 25. The mean comparison of the two weights studied is shown in Table I. The loss of weights between both times was statistically significant ($p < 0.05$). As well there can be observed the weight differences between genders which had no statistical significance.

For the plantar pressures, in static (Table II) a statistically significant mean pressure decrease between the first and the second measurement on the Hallux, 2nd MTH, 3rd MTH, 5th MTH and heel was observed.

In dynamic (Table III) a statistically significant pressure decrease between the first and second measurements on the Hallux, 1st MTH, 2nd MTH, 3rd MTH, 4th MTH, 5th MTH, heel and midfoot was observed. In summary all study areas except in the 2nd to 5th toes.

Table IV shows the descriptive analysis, as well as the number of patients (n) considered in each case. The relationship between weight change and pressure change was studied using the Spearman correlation coefficient. In static, it is observed that the weight variation is statistically significant in the pressures of the Hallux, 1st MTH, 2nd MTH, 3rd MTH and 4th MTH. In dynamics between Session 1 and Session 2 we found only a significant association between pressure changes and weight variation in the 2nd to 5th toes and midfoot.

Table I. Mean comparison and statistical group.

Mean comparison (n = 43)						Statistical group (n = 43)		
	MEAN SD CI 95 %			*P value		Male (N = 24)	Female (N = 19)	
	LL UL				Weight 1 (kg) – Mean (SD)	87.304 (16.7965)	68.305 (4.7354)	
Weight 1 - 2	9.0837	1.9689	8.4778	9.6897		*p value = 0.000		
						77.229 (15.7495)	60.474 (4.6207)	
						*p value = 0.000		

*t-Student test for related samples.

SD: standard deviation. CI: confidence interval. LL: lower limit. UP: upper limit.

Table II. Statistics for all the analyzed variables for the static measurement.

Variable	Mean	IC lower	IC higher	Median	Minimum	Maximum	p value
S-Hx (1)	0.066	0.043	0.089	0.000	0.00	0.61	0.517*
S-Hx (2)	0.047	0.026	0.069	0.000	0.00	0.65	0.050*
S-1MTH (1)	0.524	0.484	0.565	0.480	0.21	1.15	0.045*
S-1MTH (2)	0.509	0.462	0.557	0.465	0.19	1.36	0.635*
S-2MTH (1)	0.688	0.644	0.732	0.660	0.29	1.24	0.057**
S-2MTH (2)	0.611	0.552	0.669	0.570	0.26	2.23	0.001**
S-3MTH (1)	0.696	0.649	0.742	0.680	0.27	1.38	0.017**
S-3MTH (2)	0.637	0.577	0.697	0.590	0.27	2.28	0.017**
S-4MTH (1)	0.559	0.518	0.600	0.525	0.23	1.18	0.020**
S-4MTH (2)	0.536	0.486	0.586	0.495	0.19	1.49	0.342**
S-5MTH (1)	0.363	0.317	0.409	0.325	0.12	1.59	0.107*
S-5MTH (2)	0.336	0.277	0.396	0.295	0.06	1.95	0.003*
S-2-5(1)	0.017	0.006	0.028	0.000	0.00	0.34	0.464*
S-2-5(2)	0.142	0.007	0.022	0.000	0.00	0.18	0.780*
S-HEEL (1)	0.887	0.808	0.967	0.830	0.34	2.73	0.081**
S-HEEL (2)	0.784	0.723	0.845	0.770	0.15	1.95	0.001**
S-MID (1)	0.093	0.069	0.117	0.000	0.00	0.45	0.128*
S-MID (2)	0.092	0.061	0.123	0.030	0.00	1.03	0.322*

*Wilcoxon Test. **t-Student test for related samples.

S: static. 1: weight 1. 2: weight 2. Hx: hallux. MTH: metatarsal head. 2-5: 2-5 toes. HEEL: heel. MID: midfoot.

Discussion

Changes in long - term posture, such as those produced by weight gain, may induce permanent degenerative changes in the musculoskeletal system²⁵. Therefore, weight loss, will influence positively body posture, which can be observed by studying plantar pressure and the movement of the CoP²⁶.

In the present research there have been no significant changes between the variation of the CoP and the gender, as evidenced by Rogind et al.²⁷ and Nordahl et al.²⁸. But we have observed that the CoP moves backwards when losing weight. These results match with those obtained by DeVita et al.²⁹, who demonstrated that the CoP displaces forwards when weight increases. Gillear and Smith in 2007¹⁶,

emphasized this and added the hypothesis of the lack of stability in obese as a determinant of anterior displacement.

Obesity has been associated with greater forward movement of the center of pressures¹⁵. Body mass gain in obese people generates an instability increasing which leads to a major muscular response to maintain the CoP in the center of the support polygon. The location of the fat mass in the body (thorax-abdominal in men; hips in women) contributes to the antero-posterior instability³⁰.

In the literature we find opposite opinions about the influence of the weight in plantar pressure values. Several studies agreed that there is a direct correlation between both factors¹¹⁻¹³, i.e. weight influences plantar pressures, which has structural consequences in the feet and lower limbs¹¹.

Table III. Statistics for all the analyzed variables for the dynamic measurement.

Variable	Mean	IC lower	IC higher	Median	Minimum	Maximum	p value
D-Hx(1)	0.832	0.654	1.009	0.500	0.00	4.04	0.364*
D-Hx(2)	0.660	0.527	0.793	0.515	0.03	3.39	0.043*
D-1MTH(1)	1.419	1.292	1.547	1.300	0.52	3.39	0.001*
D-1MTH(2)	1.130	1.023	1.238	1.085	0.45	2.78	0.000*
D-2MTH(1)	2.202	2.047	2.356	2.060	0.95	4.01	0.001**
D-2MTH(2)	1.830	1.666	1.995	1.710	0.67	4.15	0.000**
D-3MTH(1)	2.269	2.100	2.437	2.115	0.94	4.06	0.003**
D-3MTH(2)	1.870	1.687	2.053	1.580	0.63	4.74	0.000**
D-4MTH(1)	1.585	1.445	1.726	1.415	0.61	3.90	0.004*
D-4MTH(2)	1.313	1.168	1.457	1.140	0.42	3.56	0.000*
D-5MTH(1)	0.889	0.737	1.040	0.735	0.18	4.67	0.052*
D-5MTH(2)	0.723	0.610	0.837	0.600	0.14	3.35	0.011*
D-2-5(1)	0.142	0.115	0.168	0.130	0.00	0.56	0.477*
D-2-5(2)	0.127	0.103	0.150	0.105	0.00	0.58	0.315*
D-HEEL(1)	1.506	1.326	1.687	1.350	0.52	5.57	0.001*
D-HEEL(2)	1.156	1.032	1.280	1.025	0.35	3.39	0.000*
D-MID(1)	0.180	0.118	0.241	0.140	0.00	2.28	0.314*
D-MID(2)	0.149	0.061	0.237	0.000	0.00	3.59	0.003*

*Wilcoxon Test. **t-Student test for related samples.

D: dynamic. 1: weight 1. 2: weight 2. Hx: hallux. MTH: metatarsal head. 2-5: 2-5 toes. HEEL: heel. MID: midfoot.

Table IV. Percentage change in static & dynamic.

	Variable	Mean	IC lower	IC higher	Median	Minimum	Maximum	n	Coef.*	p value
Static	S-Hx(1-2)	22.328	-45.578	90.233	-55.476	-100.00	1050.00	42	0.328	0.034**
	S-1MTH(1-2)	-17.230	-22.403	-12.057	-20.170	-63.38	46.43	86	0.367	0.001**
	S-2MTH(1-2)	-10.293	-16.493	-4.093	-10.790	-53.23	171.95	86	0.309	0.004***
	S-3MTH(1-2)	-7.036	-13.647	-0.424	-9.245	-51.72	204.00	86	0.327	0.002***
	S-4MTH(1-2)	0.205	-9.400	9.811	-7.709	-72.45	245.16	86	0.281	0.009**
	S-5MTH(1-2)	0.749	-13.969	15.467	-10.644	-74.21	457.14	86	0.034	0.757**
	S-2-5(1-2)	-4.958	-93.826	83.909	-96.296	-100.00	450.00	18	0.458	0.056**
	S-HEEL(1-2)	-7.146	-13.356	-0.935	-11.585	-60.53	102.70	86	-0.073	0.504**
	S-MID(1-2)	-13.226	-35.637	9.186	-21.111	-100.00	312.00	42	-0.028	0.862**
Dynamic	D-Hx(1-2)	35.180	-0.186	70.546	-9.434	-94.71	823.08	85	-0.050	0.647**
	D-1MTH(1-2)	-14.623	-22.387	-6.860	-21.156	-74.38	114.96	86	0.022	0.838**
	D-2 MTH (1-2)	-14.718	-20.971	-8.465	-15.614	-65.09	141.28	86	0.059	0.590***
	D-3MTH(1-2)	-15.236	-21.818	-8.654	-17.618	-67.24	134.97	86	0.117	0.283***
	D-4MTH(1-2)	-13.331	-21.080	-5.583	-19.740	-67.14	129.68	86	0.067	0.538**
	D-5MTH(1-2)	-1.667	-15.119	11.786	-19.917	-89.12	242.11	86	0.055	0.617**
	D-2-5(1-2)	14.192	-15.730	44.113	-12.500	-100.00	650.00	72	0.235	0.047**
	D-HEEL(1-2)	-14.515	-23.350	-5.680	-25.119	-77.02	128.17	86	0.051	0.640**
	D-MID(1-2)	-39.858	-54.502	-25.213	-36.232	-100.00	112.50	52	0.297	0.032**

*Spearman's Rho. **Wilcoxon Test. ***t-Student test for related samples.

S: static. D: dynamic. 1-2: weight 1-2. Hx: hallux. MTH: metatarsal head. 2-5: 2-5 toes. HEEL: heel. MID: midfoot.

Our findings showed that when weight decreased statistically significant differences were found on the MTHs in static and on the mid-foot in dynamics³¹. These findings are supported by Birtane et al.³², who demonstrated that weight gain does not increase peak pressures of the forefoot walking, although it was found that the most sensitive anatomical area was 1st MTH where it was observed that weight gain increases peak pressures¹³.

In the study of Arnold et al.³³, they observed the correlation between higher plantar pressures when weight increases. There were studied three times: when subjects increase 5, 10 and 15 kg, being found the relation for the two latest weights on the Hallux, every MTHs and heel.

Riddiford-Harland et al.³⁴, justifies the fact that the middle zone is the most sensitive to pressure change due to the increase in the impact forces that limit the capacity of the medial longitudinal arch to attenuate this change and therefore the adaptation occurs by increase the support of the middle part of the foot³⁴. Arnold et al.³³ manifests that in his study this area does not appear as statistically significant because weight gains only reached up to 15 kg, our study does not support this hypothesis since the weight loss oscillated between 5.5 and 13.2 kg and this was the only statistically significant area along with the toes.

In the case of Hills et al. it was noted that the most notable increase in peak pressure among non-obese and obese occurred on the middle region of the foot. Their study coincides with our data but with large differences in the mean of body mass between obese and non-obese subjects, 36.0 kg for women and 43.6 kg for men¹¹. Arnold bases his foundation on this study, that a greater variance in weight between both groups (obesity and non-obesity) more significant the difference on the middle zone³³.

The results of the present study can be related with those of Song et al.³⁵ and Mueller et al.¹³, who defend that when the weight increases the plantar arch descends (more in pronated foot) increasing the load on the medial surface of the foot's sole, coinciding with our study.

One limitation of the present research should be highlighted, the lateral movement of the CoP was no considered. Anyway, the findings of this work reveal the important relationship between weight and musculoskeletal system.

We can conclude that weight loss positively affects the static CoP and plantar pressures, both static and dynamic, since there is observed statistically significant changes on antero – posterior CoP and plantar pressures between the two times studied. CoP moves backwards which means balance and healthy postural gain, it should be noted that weight reduction affects differently static and dynamic plantar pressures. We can observe that there is no anatomical area of the 9 studied which coincides between static and dynamic studies as statistically significant.

Ethics declaration

Ethics approval and consent to participate: the study was approved by the Ethics Committee of Clinical Research of Aragón (C.P.-C.I.PI17/0203)

Availability of data and materials

The datasets used and/or analysed during the current study are available from the corresponding author on reasonable request.

Competing interests

The authors declare that they have no competing interests.

Funding

Not applicable.

Authors' contributions

CL-C had the original idea for this research, designed the protocol, evaluated the patients and designed the treatment. AG-B evaluated patients at baseline and after follow-up. JA-S performed the statistical analysis of the data. JVA-S performed the statistics. AP-M reviewed and drafted the manuscript, AJA-A reviewed and drafted the manuscript.

References

- Monastir L, Batty GD, Cattaneo A, Lutje V, Ronfani L, Van Lenthe FJ, et al. Early-life determinants of overweight and obesity: a review of systematic reviews. *Obes Rev*. 2010;11(10):695-708. DOI: 10.1111/j.1467-789X.2010.00735.x.
- Buckley J. Exercise self-efficacy intervention in overweight and obese women. *J Health Psychol*. 2016;21(6):1074-84. DOI: 10.1177/1359105314545096.
- Benítez-Andrades JA, Arias N, García-Ordás MT, Martínez-Martínez M, García-Rodríguez I. Feasibility of Social-Network-Based eHealth Intervention on the Improvement of Healthy Habits among Children. *Sensors (Basel)*. 2020;20(5). pii: E1404. DOI: 10.3390/s20051404.
- de Souza SA, Faintuch J, Valezi AC, Sant' Anna AF, Gama-Rodrigues JJ, de Batista Fonseca IC, et al. Gait cinematic analysis in morbidly obese patients. *Obes Surg*. 2005;15(9):1238-42. DOI: 10.1381/096089205774512627.
- Vismara L, Romei M, Galli M, Montesano A, Baccalaro G, Crivellini M, et al. Clinical implications of gait analysis in the rehabilitation of adult patients with "Prader-Willi" Syndrome: a cross-sectional comparative study ("Prader-Willi"Syndrome vs matched obese patients and healthy subjects). *J Neurogenet Rehabil*. 2007;4:14. DOI: 10.1186/1743-0003-4-14.
- Lee W, Hong SH, Oh HW. Characterization of Elastic Polymer-Based Smart Insole and a Simple Foot Plantar Pressure Visualization Method Using 16 Electrodes. *Sensors (Basel)*. 2018;19(1). pii: E44. DOI: 10.3390/s19010044.
- Gómez Bernal A, Becerro-de-Bengoa-Vallejo R, Losa-Iglesias ME. Reliability of the OptoGait portable photoelectric cell system for the quantification of spatial-temporal parameters of gait in young adults. *Gait Posture*. 2016;50:196-200. DOI: 10.1016/j.gaitpost.2016.08.035.
- Ferrin B, Diego C, Magdalena X, Correa HL. Determinación semiautomática de parámetros morfológicos de la huella plantar mediante el procesamiento digital de imágenes. *Sistemas & Telemática*. 2013;11(27):9-26.
- Puig-Diví A, Prats-Puig A. Postural and dynamic analysis of the human body: The relevance of the functional modulator factors in the methodological design. *Mult J Educ Soc & Tec Sci*. 2015;2(2):95-120. DOI: 10.4995/muse.2015.3754.
- Wafai L, Zayegh A, Woulfe J, Aziz SM, Begg R. Identification of Foot Pathologies Based on Plantar Pressure Asymmetry. *Sensors (Basel)*. 2015;15(8):20392-408. DOI: 10.3390/s150820392.
- Hills AP, Hennig EM, McDonald M, Bar-Or O. Plantar pressure differences between obese and non-obese adults: a biomechanical analysis. *Int J Obes Relat Metab Disord*. 2001;25(11):1674-9. DOI: 10.1038/sj.ijo.0801785.
- Menz HB, Morris ME. Clinical determinants of plantar forces and pressures during walking in older people. *Gait Posture*. 2006;24(2):229-36. DOI: 10.1016/j.gaitpost.2005.09.002.
- Mueller MJ, Hastings M, Commean PK, Smith KE, Pilgram TK, Robertson D, Johnson J. Forefoot structural predictors of plantar pressures during walking in people with diabetes and peripheral neuropathy. *J Biomech*. 2003;36(7):1009-17. DOI: 10.1016/S0021-9290(03)00078-2.
- Taborri J, Palermo E, Rossi S, Cappa P. Gait Partitioning Methods: A Systematic Review. *Sensors (Basel)*. 2016;16(1). pii: E66. DOI: 10.3390/s16010066.
- Berrigan F, Simoneau M, Tremblay A, Hue O, Teasdale N. Influence of obesity on accurate and rapid arm movement performed from a standing posture. *Int J Obes (Lond)*. 2006;30(12):1750-7. DOI: 10.1038/sj.ijo.0803342.
- Gilleard W, Smith T. Effect of obesity on posture and hip joint moments during a standing task, and trunk forward flexion motion. *Int J Obes (Lond)*. 2007;31(2):267-71. DOI: 10.1038/sj.ijo.0803430.

17. Fujioka K. Benefits of moderate weight loss in patients with type 2 diabetes. *Diabetes Obes Metab.* 2010;12(3):186-94. DOI: 10.1111/j.1463-1326.2009.01155.x.
18. Siram AT, Yanagisawa R, Skamagas M. Weight management in type 2 diabetes mellitus. *Mt Sinai J Med.* 2010;77(5):533-48. DOI: 10.1002/msj.20208.
19. Anderson JW, Kendall CW, Jenkins DJ. Importance of weight management in type 2 diabetes: review with meta-analysis of clinical studies. *J Am Coll Nutr.* 2003;22:331-9. DOI: 10.1080/07315724.2003.10719316.
20. Fabris SM, Valezi AC, de Souza SA, Faintuch J, Cecconello I, Junior MP. Computerized baropodometry in obese patients. *Obes Surg.* 2006;16(12):1574-8. DOI: 10.1381/096089206779319293.
21. Gravante G, Russo G, Pomara F, Ridola C. Comparison of ground reaction forces between obese and control young adults during quiet standing on a baropodometric platform. *Clin Biomech (Bristol, Avon).* 2003;18(8):780-2. DOI: 10.1016/S0268-0033(03)00123-2.
22. Becerro de Bengoa Vallejo R, Losa Iglesias ME, Zeni J, Thomas S. Reliability and repeatability of the portable EPS-platform digital pressure-plate system. *J Am Podiatr Med Assoc.* 2013;103(3):197-203. DOI: 10.7547/1030197.
23. Peter EJG, Urukalo A, Fleischli JG, Lavery LA. Reproducibility of Gait Analysis Variables: One-Step versus Three-Step Method of Data Acquisition. *J Foot Ankle Surg.* 2002;41(4):206-12. DOI: 10.1016/S1067-2516(02)80016-3.
24. Giacomozz C. Appropriateness of plantar pressure measurement devices: a comparative technical assessment. *Gait Posture.* 2010;32(1):141-4. DOI: 10.1016/j.gaitpost.2010.03.014.
25. Hue O, Simoneau M, Marcotte J, Berrigan F, Doré J, Marceau P, Marceau S, Tremblay A, Teasdale N. Body weight is a strong predictor of postural stability. *Gait Posture.* 2007;26(1):32-8. DOI: 10.1016/j.gaitpost.2006.07.005.
26. Ruhe A, Fejer R, Walker B. The test-retest reliability of centre of pressure measures in bipedal static task conditions-a systematic review of the literature. *Gait Posture.* 2010;32(4):436-45. DOI: 10.1016/j.gaitpost.2010.09.012.
27. Røgind H, Lykkegaard JJ, Bliddal H, Danneskiold-Samsøe B. Postural sway in normal subjects aged 20-70 years. *Clin Physiol Funct Imaging.* 2003;23(3):171-6. DOI: 10.1046/j.1475-097X.2003.00492.x.
28. Nordahl SH, Aasen T, Dykorn BM, Eidsvik S, Molvaer OI. Static stabilometry and repeated testing in a normal population. *Aviat Space Environ Med.* 2000;71(9):889-93.
29. DeVita P, Hortobágyi T. Obesity is not associated with increased knee joint torque and power during level walking. *J Biomech.* 2003;36(9):1355-62. DOI: 10.1016/S0021-9290(03)00119-2.
30. Clark KN. Balance and strength training for obese individuals. *ACSM's Health & Fitness J.* 2004;8(1):14-20. DOI: 10.1097/00135124-200401000-00008.
31. Bolte K, Hennig E, Hills A, McDonald M. Pressure changes under the feet of obese adults after a weight reduction program. *Arch Physiol Biochem.* 2000;108(1-2):70.
32. Birtane M, Tuna H. The evaluation of plantar pressure distribution in obese and non-obese adults. *Clin Biomech.* 2004;19(10):1055-9. DOI: 10.1016/j.clinbiomech.2004.07.008.
33. Arnold JB, Causby R, Dip Pod G, Jones S. The impact of increasing body mass on peak and mean plantar pressure in asymptomatic adult subjects during walking. *Diabetic foot & ankle.* 2010;1(1):5518. DOI: 10.3402/dfa.v1i0.5518.
34. Riddiford-Harland DL, Steele JR, Storlien LH. Does obesity influence foot structure in prepubescent children? *Int J Obes Relat Metab Disord.* 2000;24(5):541-4. DOI: 10.1038/sj.ijo.0801192.
35. Song J, Kane R, Tango DN, Vander Veur SS, Furmano J, Komaroff E, et al. Effects of weight loss on foot structure and function in obese adults: a pilot randomized controlled trial. *Gait Posture.* 2015;41(1):86-92. DOI: 10.1016/j.gaitpost.2014.08.013.